

РЕШЕНИЯ

1. Поскольку $T_{ij} = c_{ijlm} S_{lm}$ и тензор модулей c_{ijlm} упругости инвариантен относительно любых преобразований системы ортогональных координат, необходимо определить вид такого тензора. Свойством инвариантности относительно любых преобразований системы ортогональных координат обладает только скаляр и единичный тензор δ_{ij} . Следовательно, каждую компоненту тензора модулей упругости можно выразить через компоненты единичный тензор δ_{ij} . В силу симметричности δ_{ij} относительно перестановки индексов $\delta_{ij} = \delta_{ji}$, существует только три различных комбинаций компонент, содержащих четыре индекса i, j, l и m , — $\delta_{ij}\delta_{lm}$, $\delta_{il}\delta_{jm}$, $\delta_{im}\delta_{jl}$. Поэтому c_{ijlm} можно представить в виде

$$c_{ijlm} = \lambda \delta_{ij}\delta_{lm} + \mu_1 \delta_{il}\delta_{jm} + \mu_2 \delta_{im}\delta_{jl}, \quad (1.1)$$

где $\lambda; \mu_1; \mu_2$ — постоянные коэффициенты. Так как $T_{ij} = T_{ji}$, то $c_{ijlm} = c_{jilm}$. Следовательно,

$$c_{ijlm} = c_{jilm} = \lambda \delta_{ji}\delta_{lm} + \mu_1 \delta_{jl}\delta_{im} + \mu_2 \delta_{jm}\delta_{il}. \quad (2.1)$$

Из сравнения выражений (1) и (2), видно, что

$$\mu_1 = \mu_2 = \mu,$$

отсюда

$$c_{ijlm} = \lambda \delta_{ij}\delta_{lm} + \mu (\delta_{il}\delta_{jm} + \delta_{im}\delta_{jl}). \quad (3.1)$$

Следовательно, упругие свойства изотропного материала определяются двумя константами λ и μ , которые называются коэффициенты Лямэ.

2. Закон Гука изотропного материала имеет вид, см. выражение (3.1) в решении задачи 1,

$$T_{ij} = c_{ijlm} S_{lm} = \left\{ \lambda \delta_{ij}\delta_{lm} + \mu (\delta_{il}\delta_{jm} + \delta_{im}\delta_{jl}) \right\} S_{lm}.$$

Проводя суммирование по l и m , получил

$$T_{ij} = \lambda \Delta \delta_{ij} + \mu S_{ji} + \mu S_{ij} = \lambda \Delta \delta_{ij} + 2\mu S_{ij},$$

где $\Delta = S_{11} + S_{22} + S_{33} = \partial u_x / \partial x + \partial u_y / \partial y + \partial u_z / \partial z = \text{div } \mathbf{u}$ — объемная деформация материала; $\mathbf{u} = \{u_x; u_y; u_z\}$ — вектор смещения точек нагруженного материала.

3. Используя упрощенную матричную запись Фойта, заключающуюся в замене индексов (11) → (1); (22) → (2); (33) → (3); (23) = (32) → (4); (13) = (31) → (5); (12) = (21) → (6), компоненты тензора упругих свойств изо-

тропного материала, согласно выражению (3.1) в решении задачи 1, можно записать:

$$\begin{aligned} c_{11} &= c_{22} = c_{33} = \lambda + 2\mu; \\ c_{12} &= c_{13} = c_{23} = \lambda; \\ c_{44} &= c_{55} = c_{66} = \mu. \end{aligned} \quad (1.3)$$

Остальные компоненты тензора упругих свойств равны нулю, причем $c_{\alpha\beta}$ ($\alpha, \beta = 1, \dots, 6$) симметричен относительно перестановки индексов $c_{\alpha\beta} = c_{\beta\alpha}$. Следовательно,

$$\lambda = c_{12} \text{ и } \mu = (c_{11} - c_{12})/2. \quad (2.3)$$

Из 36 компонент тензора $c_{\alpha\beta}$ в силу симметрии $c_{\alpha\beta} = c_{\beta\alpha}$ различными являются $(36-6)/2+6=21$ компонента. Из них отличны от нуля лишь 9, остальные $21-9=12$ равны нулю. Тензор упругих свойств изотропного тела в записи Фойта имеет вид

$$c_{\alpha\beta} = \begin{pmatrix} c_{11} & c_{12} & c_{12} & 0 & 0 & 0 \\ c_{12} & c_{11} & c_{12} & 0 & 0 & 0 \\ c_{12} & c_{12} & c_{11} & 0 & 0 & 0 \\ 0 & 0 & 0 & (c_{11} - c_{12})/2 & 0 & 0 \\ 0 & 0 & 0 & 0 & (c_{11} - c_{12})/2 & 0 \\ 0 & 0 & 0 & 0 & 0 & (c_{11} - c_{12})/2 \end{pmatrix},$$

причем обобщенный закон Гука в записи Фойта имеет вид

$$T_{\alpha} = c_{\alpha\beta} S_{\beta}. \quad (3.3)$$

4. Продольная и поперечная деформация стержня соответственно равны $\Delta l/l = (1/E)F/S$; $\Delta d/d = -\nu(\Delta l/l) = -(\nu/E)F/S$,

где $S = \pi d^2/4$ — площадь поперечного сечения. В силу радиальной симметрии отличны от нуля следующие компоненты тензора деформации:

$$S_{11} = (1/E)T_{11}; \quad S_{22} = S_{33} = -(\nu/E)T_{11},$$

где $T_{11} = F/S$, или в записи Фойта $S_{11} = S_1$, $S_{22} = S_2$, $S_{33} = S_3$, $T_{11} = T_1$

$$S_1 = (1/E)T_1; \quad S_2 = S_3 = -(\nu/E)T_1. \quad (1.4)$$

С другой стороны, согласно обобщенному закону Гука

$$\begin{aligned} T_1 &= c_{11}S_1 + c_{12}S_2 + c_{13}S_3; \\ T_2 &= c_{21}S_1 + c_{22}S_2 + c_{23}S_3; \\ T_3 &= c_{31}S_1 + c_{32}S_2 + c_{33}S_3. \end{aligned} \quad (2.4)$$

Боковая поверхность стержня свободна от нагрузок и стержень тонкий, поэтому

$$T_{22} = T_{33} = 0.$$

С учетом соотношений (1.3) в решении задачи 3 и симметрии тензора $c_{\alpha\beta} = c_{\beta\alpha}$ можно записать

$$T_2 = c_{12}(S_1 + S_3) + c_{11}S_2 = 0.$$

После подстановки (1.4) находим

$$c_{12}[(1/E)T_1 - (\nu/E)T_1] - c_{11}(\nu/E)T_1 = 0.$$

Таким образом,

$$c_{12}(1 - \nu) - \nu c_{11} = 0,$$

откуда

$$\nu = c_{12}/(c_{11} + c_{12}). \quad (3.4)$$

Далее, подставляя в первое уравнение системы (2.4) соотношения (1.4) и сокращая обе части на T_1 , находим

$$1 = c_{11}/E - 2\nu c_{12}/E,$$

откуда с учетом (3.4) получим

$$E = c_{11} - 2c_{12}^2/(c_{11} + c_{12}). \quad (4.4)$$

5. Из (1.3), (3.4) и (4.4), см. решения задач 3 и 4, следует

$$c_{12} = \lambda; \quad c_{11} = \lambda + 2\mu; \quad (1.5)$$

и

$$\nu = c_{12}/(c_{11} + c_{12}); \quad E = c_{11} - 2c_{12}^2/(c_{11} + c_{12}). \quad (2.5)$$

После подстановки (1.5) в (2.5) находим

$$\nu = \lambda/2(\lambda + \mu);$$

$$E = \mu(3\lambda + 2\mu)/(\lambda + \mu).$$

Разрешив эти соотношения относительно λ и μ , получим

$$\lambda = E\nu/(1 + \nu)(1 - 2\nu);$$

$$\mu = E/2(1 + \nu).$$

Вторая константа Лямэ в технической литературе называется модулем сдвига и обозначается символом G .

6. При преобразовании системы координат компоненты пьезомодулей изменяются по закону

$$e_{ijk} = \alpha_i^l \alpha_j^m \alpha_k^n e_{lmn},$$

где α_i^l — матрица преобразования системы координат. Если имеется центр симметрии, то есть при преобразовании $x \rightarrow -x$; $y \rightarrow -y$; $z \rightarrow -z$, описываемыми соотношениями

$$\alpha_i^l = -\delta_{il},$$

пьезомодули остаются теми же. Поэтому

$$e_{ijk} = (-1)^3 \delta_{il} \delta_{jm} \delta_{kn} e_{lmn} = (-1)^3 e_{ijk} = -e_{ijk},$$

следовательно,

$$e_{ijk} = 0.$$

Таким образом, если кристалл имеет центр симметрии, он не может обладать пьезоэффектом.

7. Рассмотрим уравнения пьезоэффекта в записи Фойта, в которых независимыми переменными являются деформация и напряженность электрического поля

$$T_\alpha = c_{\alpha\beta}^E S_\beta - e_{i\alpha} E_i; \quad (1.7)$$

$$D_i = \varepsilon_{ij}^S E_j + e_{i\alpha} S_\alpha, \quad (2.7)$$

где индексы $i, j = 1, 2, 3$ и $\alpha, \beta = 1, \dots, 6$. Умножив второе уравнение на $\beta_{ki}^S = (\varepsilon_{ki}^S)^{-1}$, получим

$$\beta_{ki}^S D_i = \beta_{ki}^S \varepsilon_{ij}^S E_j + \beta_{ki}^S e_{i\alpha} S_\alpha.$$

Так как $\beta_{ki}^S \varepsilon_{ij}^S = \delta_{kj}$, то

$$E_k = \beta_{ki}^S D_i - \beta_{ki}^S e_{i\alpha} S_\alpha.$$

Подставив это выражение в (1.7), получим

$$T_\alpha = c_{\alpha\beta}^E S_\beta - e_{k\alpha} \beta_{ki}^S D_i + e_{k\alpha} \beta_{ki}^S e_{i\beta} S_\beta = (c_{\alpha\beta}^E + e_{k\alpha} \beta_{ki}^S e_{i\beta}) S_\beta - e_{k\alpha} \beta_{ki}^S D_i,$$

Следовательно,

$$c_{\alpha\beta}^D = c_{\alpha\beta}^E + e_{k\alpha} \beta_{ki}^S e_{i\beta}.$$

8. Результирующее колебательные смещения в пластине пропорционально $e^{i\omega t}$ и обусловлено суммой смещений падающей и отраженной волны

$$u(x, t) = (a e^{-ikx} + b e^{ikx}) e^{i\omega t},$$

где a и b — амплитуды падающей и отраженной волн. Колебательная скорость в пластине равна

$$\dot{u}(x, t) = i\omega (a e^{-ikx} + b e^{ikx}) e^{i\omega t}.$$

На границах пластины колебательные скорости равны:

$$\dot{u}_1 = \dot{u}_1(x_1, t) = i\omega (a e^{-ikx_1} + b e^{ikx_1}) e^{i\omega t};$$

$$\dot{u}_2 = \dot{u}_2(x_2, t) = i\omega (a e^{-ikx_2} + b e^{ikx_2}) e^{i\omega t}.$$

Здесь и далее временной множитель $e^{i\omega t}$ опущен.

Рассматривая эту пару соотношений как систему уравнений относительно a и b , находим

$$i\omega a = (\dot{u}_1 e^{ikx_2} - \dot{u}_2 e^{ikx_1}) / 2i \sin kl;$$

$$i\omega b = (\dot{u}_2 e^{ikx_1} - \dot{u}_1 e^{ikx_2}) / 2i \sin kl. \quad (1.8)$$

Поскольку $\partial p / \partial x = -\rho \partial^2 u / \partial t^2$, то амплитуда звукового давления равна

$$p(x) = \rho \omega^2 [a e^{-ikx} / (-ik) + b e^{ikx} / ik] = i\rho c \omega (a e^{-ikx} - b e^{ikx}).$$

Соответственно амплитуда силы

$$F(x) = i\rho c\omega S_{nl} (ae^{-ikx} - be^{ikx}) = \rho c S_{nl} (i\omega a e^{-ikx} - i\omega b e^{ikx}).$$

Подставляя (1.8), находим силы, действующие на грани пластины

$$F_1 = Z_0 \{ \dot{u}_1 / i \operatorname{tg} kl - \dot{u}_2 / i \sin kl \};$$

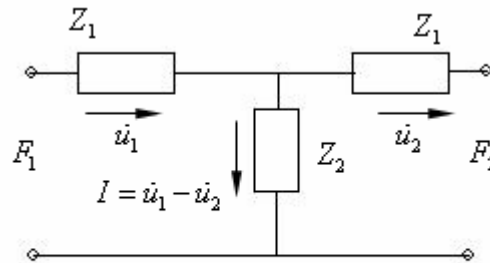
$$F_2 = Z_0 \{ \dot{u}_1 / i \sin kl - \dot{u}_2 / i \operatorname{tg} kl \},$$

где $Z_0 = \rho c S_{nl}$. Вспомнив любимую учительницу по математике — $1/\operatorname{tg} kl = 1/\sin kl - \operatorname{tg}(kl/2)$, получим

$$\begin{cases} F_1 = (Z_0 / i \sin kl)(\dot{u}_1 - \dot{u}_2) + iZ_0 \operatorname{tg}(kl/2)\dot{u}_1; \\ F_2 = (Z_0 / i \sin kl)(\dot{u}_1 - \dot{u}_2) - iZ_0 \operatorname{tg}(kl/2)\dot{u}_1. \end{cases} \quad (2.8)$$

Введя обозначения $Z_1 = iZ_0 \operatorname{tg}(kl/2)$ и $Z_2 = -iZ_0 / \sin kl$, (2.8) можно представить в виде

$$\begin{cases} F_1 = Z_2(\dot{u}_1 - \dot{u}_2) + Z_1\dot{u}_1; \\ F_2 = Z_2(\dot{u}_1 - \dot{u}_2) - Z_1\dot{u}_2. \end{cases} \quad (3.8)$$



Эквивалентная схема пластины

Нетрудно видеть, что система уравнений (3.8) описывает электрическую схему, показанную на рисунке. Действительно, согласно этой схеме

$$F_1 = Z_1\dot{u}_1 + Z_2I;$$

$$IZ_2 = Z_1\dot{u}_2 + F_2$$

и

$$I + \dot{u}_2 = \dot{u}_1,$$

что соответствует системе (3.8). Таким образом, первая схема электромеханической аналогии ставит в соответствие

механической силе — электрическое напряжение;

колебательной скорости — электрический ток.

9. Из задачи 8 следует, что входной импеданс пластины равен

$$Z(0) = Z_{ex} = F_1 / \dot{u}_1.$$

Оттуда же

$$F_1 = (Z_1 + Z_2)\dot{u}_1 - Z_2\dot{u}_2;$$

$$F_2 = Z_2\dot{u}_1 - (Z_1 + Z_2)\dot{u}_2, \quad (1.9)$$

поэтому

$$Z(0) = F_1 / \dot{u}_1 = (Z_1 + Z_2) - Z_2\dot{u}_2 / \dot{u}_1;$$

$$Z(l) = F_2/\dot{u}_2 = Z_2 \dot{u}_1/\dot{u}_2 - (Z_1 + Z_2). \quad (2.9)$$

Из последнего выражения следует

$$\dot{u}_2/\dot{u}_1 = Z_2/(Z_1 + Z_2 + Z(l)),$$

подставляя в первое соотношение (2.9), получим

$$\begin{aligned} Z(0) &= (Z_1 + Z_2) - Z_2^2/(Z_1 + Z_2 + Z(l)) = \\ &= \left[(Z_1 + Z_2)^2 - Z_2^2 + (Z_1 + Z_2)Z(l) \right] / (Z_1 + Z_2 + Z(l)). \end{aligned} \quad (3.10)$$

Введем обозначение $x = kl$, тогда, см. обозначения задачи 8, получим

$$Z_1 + Z_2 = iZ_0 \operatorname{tg}(x/2) - iZ_0/\sin x = -iZ_0/\operatorname{tg} x,$$

$$Z_2^2 = -Z_0^2/\sin^2 x;$$

$$(Z_1 + Z_2)^2 - Z_2^2 = Z_0^2.$$

После подстановки в (3.10) находим

$$Z(0) = Z_{\text{ex}} = Z_0 \cdot \frac{Z(l)/Z_0 + i \operatorname{tg} kl}{1 + i(Z(l)/Z_0) \operatorname{tg} kl}.$$

Таким образом, входной импеданс пластины зависит от ее толщины l , соотношения kl и выходного импеданса $Z(l)$.

Если $l = \lambda/2$, то $kl = (2\pi/\lambda)(\lambda/2) = \pi$ и $\operatorname{tg} kl = 0$. Отсюда

$$Z(0) = Z(l),$$

то есть входной импеданс пластины равен импедансу нагрузки.

Если $l = \lambda/4$, то $kl = (2\pi/\lambda)(\lambda/4) = \pi/2$ и $\operatorname{tg} kl \rightarrow \infty$. Отсюда

$$Z(0) = Z_{\text{ex}} = Z_0^2/Z(l).$$

10. Воспользуемся уравнениями пьезоэффекта в виде

$$T_\alpha = c_{\alpha\beta}^D S_\beta - h_{i\alpha} D_i;$$

$$E_i = \beta_{ij}^S D_j - h_{i\beta} S_\beta.$$

Так как пластина совершает толщинные колебания, то $S_3 = \partial u/\partial x$ и отличной от нуля является компонента механических напряжений $T_3 = T$ и электрической индукции $D_3 = D$. Опуская индексы, можем записать

$$T = c^D \partial u/\partial x - hD;$$

$$E = \beta^S D - h \partial u/\partial x.$$

Силы, действующие на грани пластины, равны

$$F_1 = S_{nl} T(x_1) = S_{nl} (c^D \partial u(x_1)/\partial x - hD);$$

$$F_2 = S_{nl} T(x_2) = S_{nl} (c^D \partial u(x_2)/\partial x - hD).$$

Следовательно, в левые части соотношений (3.8) в решении задачи 8, необходимо включить дополнительное отрицательное слагаемое $-hDS_{nl}$

$$\begin{cases} F_1 - hDS_{nl} = Z_2(\dot{u}_1 - \dot{u}_2) + Z_1\dot{u}_1; \\ F_2 - hDS_{nl} = Z_2(\dot{u}_1 - \dot{u}_2) - Z_1\dot{u}_2. \end{cases}$$

Переносим его в правые части уравнений, получим

$$\begin{cases} F_1 = Z_2(\dot{u}_1 - \dot{u}_2) + Z_1\dot{u}_1 + hDS_{nl}; \\ F_2 = Z_2(\dot{u}_1 - \dot{u}_2) - Z_1\dot{u}_2 + hDS_{nl}. \end{cases}$$

Разность потенциалов между гранями пьезопластины равна

$$U = \int_{x_1}^{x_2} E dx = \int_{x_1}^{x_2} (\beta^S D - h \partial u / \partial x) dx = \beta^S D l - h[u(x_2) - u(x_1)] = \beta^S D l - h(u_2 - u_1).$$

Так как $\dot{u} = \partial u / \partial t = i\omega u$ и $u = \dot{u} / i\omega$, то

$$U = \beta^S D l - (h/i\omega)(\dot{u}_2 - \dot{u}_1).$$

Электрическая индукция связана с током смещения

$$I = S_{nl} \partial D / \partial t = i\omega S_{nl} D,$$

поскольку все параметры пропорциональны $e^{i\omega t}$. Тогда с учетом $\beta^S = 1/\epsilon^S$, можно записать

$$U = I l / i\omega \epsilon^S S_{nl} - (h/i\omega)(\dot{u}_2 - \dot{u}_1).$$

Поскольку $C_0 = \epsilon^S S_{nl} / l$ — емкость жестко закрепленной пьезопластины, то

$$U = I / i\omega C_0 - (h/i\omega)(\dot{u}_2 - \dot{u}_1),$$

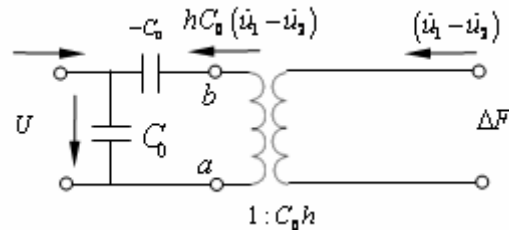
откуда

$$I = i\omega C_0 U - C_0 h(\dot{u}_1 - \dot{u}_2).$$

Дополнительное слагаемое $\Delta F = -hDS_{nl} = Ih/i\omega$, следовательно, можно представить в виде

$$\Delta F = hC_0 [U - (hC_0 / i\omega C_0)(\dot{u}_1 - \dot{u}_2)].$$

Дополнительную силу можно реализовать с помощью электромеханического трансформатора



Действительно, из приведенной схемы следует

$$\Delta F = hC_0 U_{ab};$$

$$U_{ab} = [U - (hC_0 / i\omega C_0)(\dot{u}_1 - \dot{u}_2)].$$

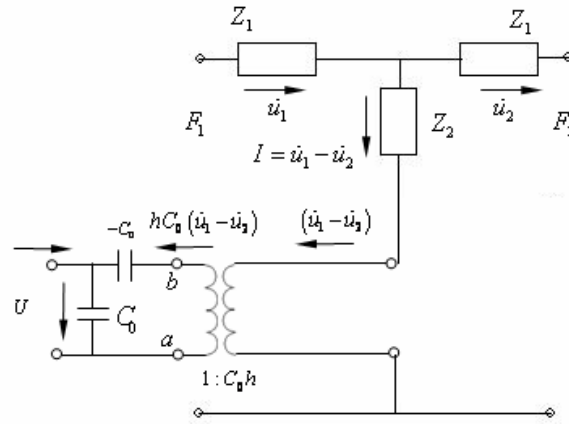
Таким образом,

$$\Delta F = hC_0 [U - (hC_0 / i\omega C_0)(\dot{u}_1 - \dot{u}_2)].$$

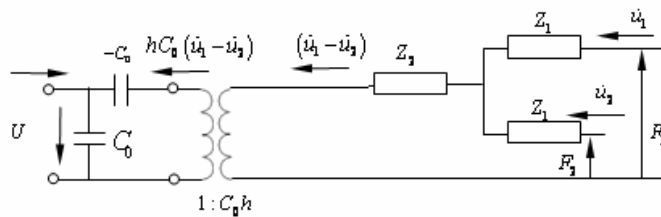
Формальная отрицательная емкость « $-C_0$ » введена для того, чтобы сохранялось равенство

$$I = i\omega C_0 U - C_0 h(\dot{u}_1 - \dot{u}_2).$$

Нетрудно видеть, что для выполнения вышеприведенных соотношений электромеханический трансформатор надо включить между импедансом Z_2 и «землей», см. рис. в решении задачи 8. Эквивалентная электромеханическая схема пьезопреобразователя будет иметь вид



Обычно ее изображают следующим образом



11. Вектор напряженности электрического поля \mathbf{E} направлен вдоль оси x_1 , то есть $\mathbf{E} = \{E, 0, 0\}$, поскольку электроды нанесены на плоскости тонкой пластины, перпендикулярные этой оси. Так как плоская волна распространяется вдоль оси x_3 , пластина длинная и тонкая, то преобладающими компонентами вектора колебательных смещений будет u_3 , тензора деформации $S = S_3 = \partial u_3 / \partial x_3$ и механических напряжений T_3 , тогда уравнение пьезоэффекта можно записать в виде

$$T_3 = c_{33}^E \partial u_3 / \partial x_3 - e_{13} E;$$

$$D = \varepsilon_{11}^S E + e_{13} \partial u_3 / \partial x_3,$$

так как $\mathbf{D} = \{D, 0, 0\}$. В этом случае уравнение движения имеет вид

$$\rho \partial^2 u_3 / \partial t^2 = \partial T_3 / \partial x_3,$$

которое после подстановки T_3 можно записать как

$$\rho \partial^2 u_3 / \partial t^2 = c_{33}^E \partial^2 u_3 / \partial x_3^2 - e_{13} \partial E / \partial x_3.$$

Поверхности $x_1 = 0$ и $x_1 = b$, на которые нанесены электроды, являются эквипотенциальными поверхностями, поэтому $\partial E / \partial x_3 \equiv 0$, тогда уравнение движения

$$\rho \partial^2 u_3 / \partial t^2 = c_{33}^E \partial^2 u_3 / \partial x_3^2.$$

Это волновое уравнение, описывающее плоскую волны, скорость распространения которой равна

$$v = (c_{33}^E / \rho)^{1/2}.$$

Силы, действующие на плоскостях пластины $x_3 = 0$ и $x_3 = d$, получим, воспользовавшись соотношениями (3.8) из решения задачи 8,

$$\begin{cases} F_1 = Z_2(\dot{u}_1 - \dot{u}_2) + Z_1\dot{u}_1; \\ F_2 = Z_2(\dot{u}_1 - \dot{u}_2) - Z_1\dot{u}_2. \end{cases}$$

За счет пьезоэффекта, как и при решении задачи 10, к правым частям этих уравнений необходимо добавить слагаемое $\Delta F = e_{13}ELb$, которое с учетом соотношения $e_{13} = h_{13}\varepsilon_{11}^S$ можно представить в виде $\Delta F = h_{13}\varepsilon_{11}^S ELb$. В результате получим

$$\begin{cases} F_1 = Z_2(\dot{u}_1 - \dot{u}_2) + Z_1\dot{u}_1 + h_{13}\varepsilon_{11}^S ELb; \\ F_2 = Z_2(\dot{u}_1 - \dot{u}_2) - Z_1\dot{u}_2 + h_{13}\varepsilon_{11}^S ELb. \end{cases}$$

Разность потенциалов на электродах равна

$$U = \int_0^b Edx_1 = Eb, \quad (1.11)$$

тогда добавку к силам, действующим на гранях, можно записать в виде $\Delta F = h_{13}\varepsilon_{11}^S LU$. Если обозначить $C_0 = \varepsilon_{11}^S Ld/b$ — емкость преобразователя, то

$$\Delta F = h_{13}(l/d)C_0U.$$

Ток смещения, протекающий через преобразователь, найдем, определив изменение заряда Q на электродах преобразователя,

$$\hat{I} = d\hat{Q}/dt.$$

Так как рассматривается гармоническая волна, то $\hat{Q} = Qe^{i\omega t}$, Q — амплитудное значение заряда на электродах. Следовательно, амплитудное значение тока равно $I = i\omega Q$. С другой стороны, для амплитудного значения заряда можно записать

$$Q = \int_{S_{эл}} D dS_{эл} = L \int_0^d D dx_3 = L\varepsilon_{11}^S Ed - e_{13}L(u_1 - u_2), \quad (2.11)$$

где $S_{эл}$ — площадь поверхности электрода; $u_1 = u_3(0)$ и $u_2 = u_3(d)$. Вводя колебательные скорости граней с электродами

$$\dot{u}_1 = i\omega u_1; \quad \dot{u}_2 = i\omega u_2,$$

с учетом (1.11) и (2.11) получим

$$I = i\omega Q = i\omega [L\varepsilon_{11}^S Ed - e_{13}L(u_1 - u_2)]$$

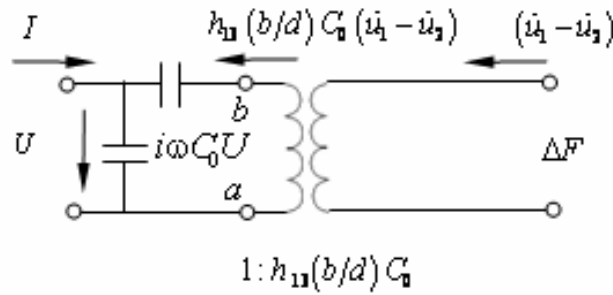
или

$$I = i\omega C_0 U - h_{13}(b/d)C_0(\dot{u}_1 - \dot{u}_2). \quad (3.11)$$

Отсюда

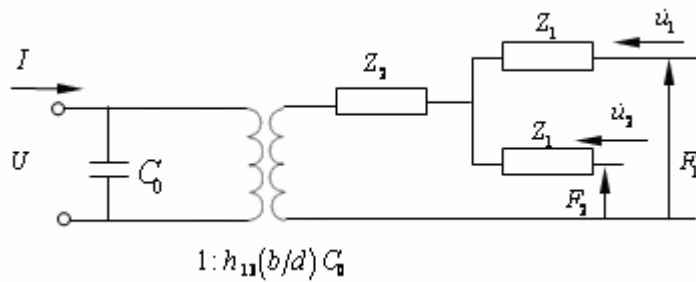
$$U = I/i\omega C_0 + h_{13}(b/d)(C_0/i\omega C_0)(\dot{u}_1 - \dot{u}_2). \quad (4.11)$$

Соотношениям (3.11) и (4.11) соответствует схема:



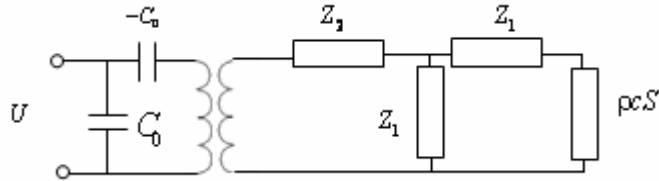
Здесь коэффициент electromеханической трансформации $N = h_{13}(b/d)C_0$ и $\Delta F = U_{ab}N = UN$.

Повторив рассуждения в решении задачи 10, окончательно эквивалентную схему преобразователя можно представить в виде



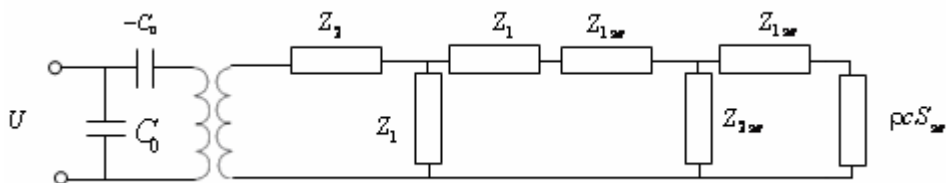
Эта схема отличается от схемы, приведенной в решении задачи 10, отсутствием отрицательной емкости

12. Эквивалентная схема имеет вид



где S — площадь плоской поверхности пьезопреобразователя.

13. Эквивалентная схема выглядит следующим образом



где $Z_{13\text{эф}} = iZ_{03\text{эф}} \text{tg}(k_{3\text{эф}}l_{3\text{эф}}/2)$; $Z_{23\text{эф}} = -iZ_{03\text{эф}}/\sin k_{3\text{эф}}l_{3\text{эф}}$ и $Z_{03\text{эф}} = \rho_{3\text{эф}}c_{3\text{эф}}S_{3\text{эф}}$; $k_{3\text{эф}} = \omega/c_{3\text{эф}}$.

15. Рассмотрим фазированную решетку, содержащую $p = 2m + 1$ излучателей, показанных на рисунке, которые будем нумеровать числами от $-m$ до $+m$. Ширину фазированной решетки будем полагать много меньшей, чем расстояние до точки, в которой рассчитываем акустическое поле. Рассчитаем аку-

стическое поле в т. A . Вклад в акустическое поле, например, колебательную скорость, от центрального излучателя с номером $n = 0$ можно записать в виде

$$v_0(t) = v_0 \sin 2\pi f t / r,$$

где v_0 — амплитуда колебаний излучателей; r — расстояние от излучателя до т. A ; f — частота колебаний излучателей. Вклад в поле в т. A излучателя с номером n

$$v_n(t) = v_0 \sin 2\pi f (t - \tau_n) / r_n.$$

Здесь τ_n — время задержки излучения в т. A по отношению к излучению центрального излучателя; r_n — расстояние от n -го излучателя до т. A . Из рисунка следует,

$$r_n^2 = (r - nd \sin \vartheta)^2 + (nd \sin \vartheta)^2 = r^2 - 2r nd \sin \vartheta + n^2 d^2;$$

$$r_n = \sqrt{r^2 - 2r nd \sin \vartheta + n^2 d^2} = r \sqrt{1 - 2(nd/r) \sin \vartheta + n^2 d^2 / r^2},$$

где d — шаг излучателей в решетке. Поскольку $nd/r \ll 1$, то $r_n \approx r$, тогда

$$v_n(t) \approx v_0 \sin 2\pi f (t - \tau_n) / r.$$

Разности хода излучения в т. A от излучателей с номерами n по отношению к излучению центрального излучателя можно представить в виде

$$\Delta_{1,0} = -d \sin \vartheta \quad \Delta_{0,-1} = d \sin \vartheta;$$

$$\Delta_{2,0} = -2d \sin \vartheta; \quad \Delta_{0,-2} = 2d \sin \vartheta$$

.....;

$$\Delta_{m,0} = -m d \sin \vartheta; \quad \Delta_{0,-m} = m d \sin \vartheta.$$

Следовательно,

$$\tau_n = \Delta_{n,0} / c = +nd \sin \vartheta / c; \quad n = 0, \pm 1, \dots, \pm n,$$

где c — скорость звука. Таким образом

$$v_n(t) = v_0 \sin [2\pi f t - 2\pi f (\sin \vartheta / c) nd] / r = v_0 \sin [2\pi f t - knd] / r,$$

где $k = 2\pi f \sin \vartheta / c$.

Суммарная колебательная скорость в т. A от всех излучателей равна

$$\begin{aligned} v_\Sigma &= (v_0/r) \sum_{n=-m}^m \sin [2\pi f t - knd] = (v_0/r) \sum_{n=-m}^m (\sin 2\pi f t \cos knd - \cos 2\pi f t \sin knd) = \\ &= (v_0/r) \left[\left(\sum_{n=-m}^m \cos knd \right) \sin 2\pi f t - \left(\sum_{n=-m}^m \sin knd \right) \cos 2\pi f t \right]. \end{aligned}$$

Амплитуда колебательной скорости в т. A

$$|v_\Sigma| = (v_0/r) \sqrt{A^2 + B^2}; \quad A = \sum_{n=-m}^m \cos knd \quad B = \sum_{n=-m}^m \sin knd.$$

Из-за антисимметрии нечетности суммируемых слагаемых

$$B = \sum_{n=-m}^m \sin knd = 0,$$

ПОЭТОМУ

$$|v_{\Sigma}| = (v_0/r) \sum_{n=-m}^m \cos k n d .$$

Запишем последнюю сумму в виде

$$|v_{\Sigma}| = (v_0/r) \left(\sum_{n=-m}^0 \cos k n d + \sum_{n=0}^m \cos k n d \right) - (v_0/r) = (v_0/r) \left(2 \sum_{n=0}^m \cos k n d - 1 \right).$$

Далее, запишем

$$\cos k n d = \operatorname{Re} \{ e^{i k n d} \} = \operatorname{Re} \{ e^{i n \beta} \}, \quad \beta = k d ,$$

тогда

$$\sum_{n=0}^m \cos k n d = \operatorname{Re} \sum_{n=0}^m e^{i n \beta} .$$

Последняя сумма представляет сумму геометрической прогрессии с основанием $e^{i\beta}$

$$\sum_{n=0}^m e^{i n \beta} = (1 - e^{i\beta(m+1)}) / (1 - e^{i\beta}),$$

тогда

$$|v_{\Sigma}| = (v_0/r) \left(2 \operatorname{Re} \left\{ (1 - e^{i\beta(m+1)}) / (1 - e^{i\beta}) \right\} - 1 \right).$$

После несложных преобразований находим

$$\begin{aligned} \operatorname{Re} \left\{ (1 - e^{i\beta(m+1)}) / (1 - e^{i\beta}) \right\} &= \operatorname{Re} \left\{ e^{i\beta(m+1)/2} (e^{-i\beta(m+1)/2} - e^{i\beta(m+1)/2}) / e^{i\beta/2} (e^{-i\beta/2} - e^{i\beta/2}) \right\} = \\ &= \operatorname{Re} \left\{ e^{i\beta m/2} \sin [\beta(m+1)/2] / \sin [\beta/2] \right\} = \cos [\beta m/2] \sin [\beta(m+1)/2] / \sin [\beta/2]. \end{aligned}$$

Таким образом,

$$|v_{\Sigma}| = (v_0/r) \left(2 \cos [\beta m/2] \sin [\beta(m+1)/2] / \sin [\beta/2] - 1 \right).$$

Вспомнив уроки тригонометрии в родной школе, последнее выражение можно представить в виде

$$\begin{aligned} |v_{\Sigma}| &= (v_0/r) \sin [\beta(m+1)/2] / \sin [\beta/2] = \\ &= (v_0/r) \left(\sin [(2m+1)\pi f d \sin \vartheta / c] / \sin [(\pi f d \sin \vartheta / c)] \right), \end{aligned}$$

или

$$|v_{\Sigma}| = (v_0/r) \left\{ \sin [p\pi f d \sin \vartheta / c] / \sin [(\pi f d \sin \vartheta / c)] \right\}.$$

Проанализируем последнее выражение. Обозначим $\alpha = \pi f d / c$. Максимальное значение $|v_{\Sigma}|$ принимает при $\vartheta \rightarrow 0$

$$|v_{\Sigma}|_{\max} = \lim_{\vartheta \rightarrow 0} (v_0/r) \sin (\alpha p \sin \vartheta) / \sin (\alpha \sin \vartheta) = p .$$

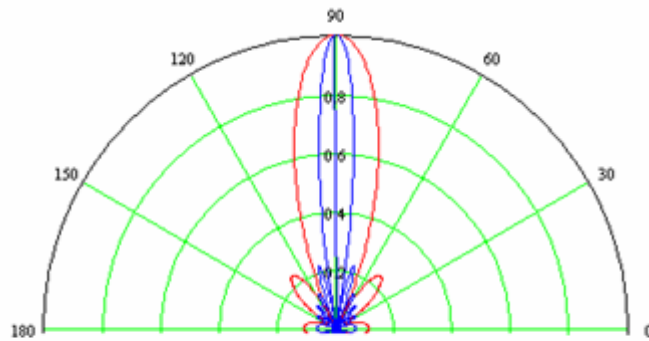
Отношение

$$I(\vartheta) = |v_{\Sigma}| / |v_{\Sigma}|_{\max} = \sin (\alpha p \sin \vartheta) / p \sin (\alpha \sin \vartheta)$$

называется диаграммой направленности. Первое значение угла ϑ_1 , при котором $I(\vartheta_1) = 0$, равно

$$\vartheta_1 = \arcsin (\pi / \alpha p) .$$

Таким образом, основная доля излучения фазированной решетки сосредоточена в угле $2\vartheta_1$, который уменьшается с ростом количества излучателей в решетке p .



Диаграммы направленности фазированных решеток, содержащих 7 (красная линия) и 17 (синяя линия) излучателей

На рисунке показаны диаграммы направленности двух фазированных решеток с разным количеством излучателей. Видно, что с увеличением числа излучателей в решетке диаграмма направленности существенно сужается.

17. Ответ: $R_{y_1 y_2}(x_1; x_2; \tau) = R_{SS}(\tau \pm \tau_0) + R_{n_1 n_2}(x_1; x_2; \tau)$, где x_1 и x_2 — координаты первого и второго преобразователей соответственно; y_1 и y_2 — сигналы, регистрируемые преобразователями; $\tau_0 = l/c$; c — скорость упругих волн в металле трубопровода. Знак минус в выражении для аргумента корреляционной функции означает, что сигнал акустической эмиссии пришел справа от обоих датчиков, плюс — слева. Для разделения сигналов необходимо, чтобы выполнялось условие $l > c\tau_k$. При этом $\tau > \tau_k$ и $R_{y_1 y_2}(x_1; x_2; \tau) = R_{SS}(\tau \pm \tau_0)$. Если взаимная корреляционная функция $R_{y_1 y_2}$ максимальна при $\tau = -\tau_0$, источник находится слева от датчиков.

18. Ответ:

$$S_y(\omega) = \frac{\overline{vA^2 K_0^2}}{(\omega_0^2 - \omega^2)^2 + 4\omega^2 \omega_0^2 / Q^2} + \frac{2\pi v^2 \overline{A^2} K_0^2}{\omega_0^4} \delta(\omega);$$

$$R_{yy}(\tau) = \frac{vK_0^2}{\omega_0^3} \left\{ \frac{\overline{A^2} e^{-\omega_0 |\tau| / Q}}{4Q^{-1} \beta} [\beta \cos(\beta \omega_0 \tau) + Q^{-1} \sin(\beta \omega_0 |\tau|)] + \overline{A^2} \frac{v}{\omega_0} \right\},$$

$$\beta = \sqrt{1 - (Q^{-1})^2}.$$

$$\text{При } Q \gg 1 \quad R_{yy}(t) = \frac{vK_0^2}{\omega_0^3} \left\{ \frac{\overline{A^2}}{4Q^{-1}} e^{-\omega_0 Q^{-1} |\tau|} \cos \omega_0 \tau + \overline{A^2} \frac{v}{\omega_0} \right\};$$

$$\overline{y} = \overline{A} \frac{\nu K_0}{\omega_0^2}; \quad \sigma_y^2 = \frac{\nu K_0^2 \overline{A^2}}{4Q^{-1} \omega_0^3}; \quad \overline{y^2} = \frac{\nu K_0^2}{\omega_0^3} \left[\frac{\overline{A^2}}{4Q^{-1}} + \overline{A}^2 \frac{\nu}{\omega_0} \right].$$

19. Ответ: $R_{xx}(\tau) = \frac{1}{2} \sum_{i=1}^n \overline{A_i^2} P(\omega_i) \cos \omega_i \tau; \quad \overline{A^2} = \int A^2 w_i(A) dA.$